

АНИЗОТРОПИЯ ВРАЩАТЕЛЬНОЙ ПОДВИЖНОСТИ МОЛЕКУЛ СУЛЬФОЛАНА В ПЛАСТИЧЕСКОЙ ФАЗЕ КРИСТАЛЛА ПО ДАННЫМ СПЕКТРОВ КОМБИНАЦИОННОГО РАССЕЯНИЯ

© С.В.Карпов, М.В.Яковенко

Научно-исследовательский институт физики
Санкт-Петербургского государственного университета,
198904 Петродворец, Россия

(Поступило в Редакцию 20 июня 1995 г.

В окончательной редакции 20 сентября 1995 г.)

Пластическая фаза кристалла сульфолана (тетраметиленсульфона) существует при обычном давлении в области температур от 15.5 °C до точки плавления 28.45 °C. Согласно рентгеноструктурным данным [1], эта фаза имеет плотнейшую гексагональную упаковку с двумя молекулами в элементарной ячейке. При рассмотрении пластических фаз обычно считается, что подвижность молекул в кристалле изотропна и мало отличается от вращательной подвижности в жидкости, хотя спектроскопические данные [2] указывают на то, что для ряда пластических кристаллов имеет место анизотропия ориентационной подвижности. В то же время модель ориентационного беспорядка для кристалла сульфолана не предложена. С этой целью проведено подробное изучение степени деполяризации линии комбинационного рассеяния (КР) внутреннего полносимметричного колебания C-S-C молекулы сульфолана с частотой около 675 cm^{-1} как в фазе пластического кристалла, так и в жидкости.

Исследование поляризованных спектров КР кристалла показало, что в области внутренних колебаний молекулы сульфолана спектры практически не отличаются от спектров жидкой фазы [3]. Однако внутреннее полносимметричное колебание C-S-C молекулы сильно поляризовано (рис. 1), причем количественная связь между элементами тензора КР такова: $(A_{xx}/A_{zz}) = 2.5$.

При нагревании в спектре кристалла практически не происходит изменения интенсивности различных компонент этой линии. В то же время при переходе в жидкое состояние степень деполяризации линии меняется весьма существенно. В точке плавления интенсивность полносимметричной компоненты резко растет, в то время как интенсивность недиагональной компоненты в жидкости чрезвычайно мала. Степень деполяризации линии в жидкости оказалась равной величине 0.06.

Степень деполяризации линий КР в жидкости в предположении изотропного вращательного движения позволяет оценить степень анизотропии тензора КР одиночной молекулы сульфолана. Это дает возможность в определенной модели переориентации молекулы в пластической фазе выразить тензор КР кристалла для сравнения с экспериментом.

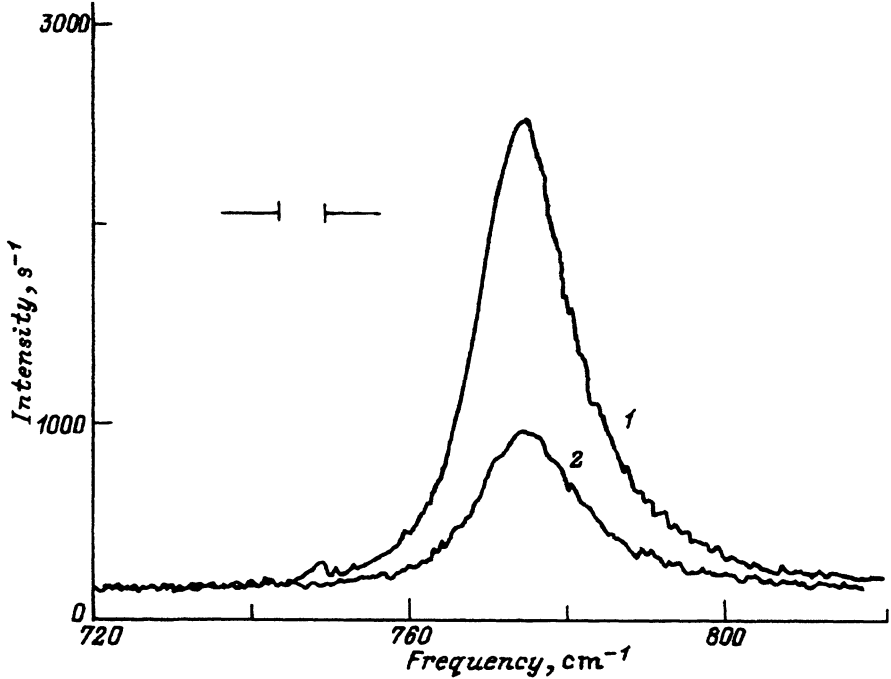


Рис. 1. Спектр КР кристалла сульфолана в области деформационного колебания C-S-C в различных поляризациях.
1 — I_{xx} , 2 — I_{zz} .

Степень деполяризации R линии в жидкости равна [4]

$$R = \frac{I_{xz}}{I_{zz}} = \frac{3(a+b)^2}{45(2a+b)^2 + 4(a+b)^2},$$

где a и b — элементы тензора КР аксиально-симметричной молекулы. Степень деполяризации линии полносимметричного колебания C-S-C в кристалле была нами вычислена в предположении модели ориентированного газа, причем считалось, что молекулярная ось C имеет проекцию на кристаллическую ось Z , а вращение вокруг оси C почти свободно. Кроме того, предполагалось, что в кристалле могут осуществляться реориентации молекулярной оси C (составляющей угол V с осью кристалла Z) между несколькими (например, 3, 6, 12, 24) положениями, совместимыми с гексагональной структурой кристалла. В этом случае элементы A_{ij} тензора КР элементарной ячейки кристалла могут быть выражены через элементы a и b тензора молекулы для заданной ориентации молекул в ячейке и будут иметь вид

$$A_{xx} = A_{yy} = 1/2 [a(\cos^2 V + 1) + b \sin^2 V]; \quad A_{zz} = a \sin^2 V + b \cos^2 V.$$

При рассмотрении кристалла усреднение по различным ориентациям молекул в элементарной ячейке проводилось для элемента тензора (а не его квадрата), и тем самым учитывалось когерентное внутримолекулярное движение молекул, соответствующее длинноволновым кристаллическим колебаниям с волновым вектором $\mathbf{K} = 0$. Очевидно,

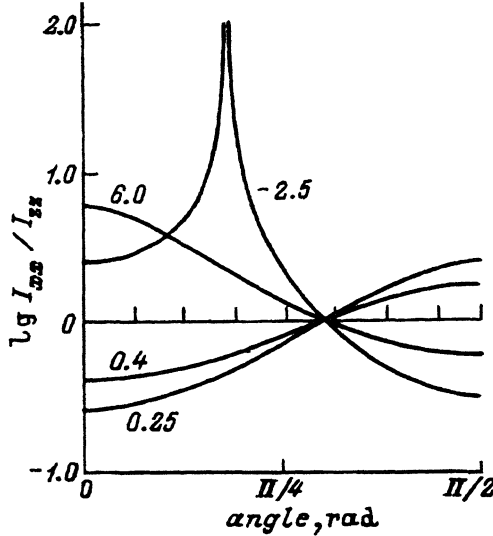


Рис. 2. Теоретическая зависимость отношения интенсивностей диагональных компонент I_{xx}/I_{zz} спектра КР пластического кристалла в определенной модели вращательного движения молекул от величины угла V между молекулярной осью C и кристаллической осью Z .

Числа у кривых — анизотропия молекулы a/b .

что получаемый в этом случае результат принципиально отличается от результата для жидкости. В частности, в нематическом жидкокристалле недиагональные элементы тензора КР A_{zy} , A_{zx} , A_{xy} имеют ненулевые значения [5], в то время как в кристалле отличны от нуля лишь диагональные элементы тензора КР. Этот факт связан с тем, что при описании жидкости необходимо производить усреднение по несфазированному ансамблю молекул.

Экспериментальная проверка этих соображений показывает, что недиагональные элементы тензора КР пластического кристалла для симметричного колебания С–С–С с частотой 675 cm^{-1} составляют менее 1% от диагональных компонент. Таким образом, установлено, что в пластическом кристалле при высокой ориентационной подвижности молекул внутримолекулярные колебания синхронизированы, в то время как реориентационные движения не когерентны. Исследование спектра жидкости показало, что степень анизотропии тензора КР колебания С–С–С составляет около 0.4, а отношение интенсивностей КР диагональных компонент I_{xx}/I_{zz} в пластическом кристалле равно 6. Теоретическая зависимость отношения диагональных компонент тензора КР кристалла от угла V ориентации молекулы в рассматриваемой модели для пластического кристалла представлена в логарифмическом масштабе на рис. 2. Равенство интенсивностей компонент I_{xx} и I_{zz} происходит при одной и той же величине угла $V = 55^\circ$ для различных значений степени анизотропии тензора КР колебания, что с учетом разной плотности среды вдоль осей X и Z дает наблюдаемое отношение интенсивностей диагональных компонент. Таким образом, исследование деполяризации спектра КР кристалла сульфолана и жидкости позволило предложить модель ориентационного беспорядка в пластическом кристалле и оценить значение угла V между молекулярной осью C и кристаллической осью Z , который оказался равным 55° .

Список литературы

- [1] Immersi A.A., Janelli L. Mol. Cryst. Liq. Cryst. **91**, 39 (1983).
- [2] Акимов М.Н., Безруков О.Ф., Струц А.В. Вестн. ЛГУ. Сер. физ.: 4, 24 (1984).
- [3] Katon J.E., Fearheller W.R. Spectroch. Acta **21**, 1, 195 (1965).
- [4] Вильсон Е., Дешиус Дж., Кросс П.П. Теория колебательных спектров молекул. М. (1960). 354 с.
- [5] Шабанов Е.Ф., Аверьянов Е.М., Адоменас П.В., Спиридовон В.П. ЖЭТФ **75**, 7, 1926 (1978).

Физика твердого тела, том 38, № 4, 1996
Solid State Physics, vol. 38, N 4, 1996

ОПТИЧЕСКОЕ ПОГЛОЩЕНИЕ И ФОТОПРОВОДИМОСТЬ МОНОКРИСТАЛЛОВ $ZnCr_2S_4$

© Л.Л. Голик, З.Э. Кунькова, Т.Г. Аминов*, Г.Г. Шабунина*

Институт радиотехники и электроники Российской академии наук,
141120 Фрязино, Московская обл., Россия

*Институт общей и неорганической химии Российской академии наук,
101000 Москва, Россия

(Поступило в Редакцию 27 сентября 1995 г.)

Соединение $ZnCr_2S_4$ принадлежит к числу магнитных полупроводниковых шпинелей ACr_2X_4 ($A = Cd, Zn, Hg$; $X = S, Se$), которые проявляют нетривиальные оптические свойства в области края поглощения^[1]. Это связано с близостью энергий начала межзонных переходов и внутрицентровых $d-d$ -переходов в ионе Cr^{3+} и с сильной зависимостью энергетического спектра носителей заряда от магнитного упорядочения. В четырех соединениях этого класса при понижении температуры наблюдается сильный аномальный «красный сдвиг» края поглощения, а в $CdCr_2S_4$ — аномальный «голубой сдвиг»^[2]. Сведения о спектре поглощения $ZnCr_2S_4$ отсутствуют. В данной работе представлены результаты исследований края оптического поглощения и фотопроводимости ($\Phi\Pi$) монокристаллов $ZnCr_2S_4$.

Монокристаллы $ZnCr_2S_4$ были получены из раствора в расплаве и представляли собой октаэдры с размером ребра $\sim 0.15\text{--}0.2\text{ см}$. Поглощение исследовалось на пластинках толщиной $\sim 20\text{ }\mu\text{м}$, полученных шлифовкой и полировкой монокристаллов. Для фотоэлектрических измерений на грани монокристаллов серебряной пастой наносились контакты, расстояние между контактами составляло $\sim 0.1\text{ см}$. Темновое удельное сопротивление кристаллов при комнатной температуре было $\sim 10^7\text{ }\Omega \cdot \text{см}$. При измерениях $\Phi\Pi$ к образцу прикладывалось напряжение до 100 V , излучение модулировалось с частотой 489 s^{-1} . В качестве спектрального прибора использовался монохроматор SPM-2, в качестве измерительного — фазочувствительный нановольтметр «Unipar-232b». Зависимость фототока от напряжения была линейной.

Спектральные зависимости коэффициента поглощения $\alpha(h\nu)$, измеренные для разных температур в интервале $T = 80\text{--}295\text{ K}$, представлены на рис. 1. При определении α учитывалось отражение от поверхностей пластинки с коэффициентом отражения 0.25. В исследуемом